

ORIGINAL ARTICLE

Removal of Phenol from Aqueous Solution Using Ostrich Feathers Ash

Hasti Daraei, Mohamad Manshouri, Ahmad Reza Yazdanbakhsh

Department of Environmental Health Engineering, Faculty of Health, Shahid Beheshti University of Medical Sciences, Tehran, Iran

(Received September 11, 2010 ; Accepted November 16, 2010)

Abstract

Background and purpose: Phenol is an organic pollutant that is found in industrial effluents and is very toxic to human and the environment. The purpose of this study was to use the ostrich feathers ash as a natural absorbent to remove phenol from aqueous solution.

Materials and methods: For this study, ostrich feather ash was used as a new adsorbent in removal of phenol at different doses (0.2, 0.3, 0.5, 0.7, 1, 1.5, 2 and 3 g). Changes following the effect of contact time, pH, adsorbent dose, temperature and initial phenol concentration have been recorded. Then, the adsorption data were described with Langmuir and Freundlich adsorption isotherms and Excel software was used for data analysis.

Results: There is a dose-dependent relationship between phenol adsorption by adsorbent at doses ranging from 0.2-2 g. The adsorption of phenol decreases following an increase in the pH of the solution. Also, it is observed that the contact time significantly affects the rate of phenol adsorption (77%) from solution.

Conclusion: Generally, the studied adsorbent was applied successfully for treating industrial water samples and aqueous solution.

Key words: Ostrich feather, phenol, industrial effluent

J Mazand Univ Med Sci 2010; 20(79): 81-87 (Persian).

حذف فل از محلول های آبی با استفاده از خاکستر پر شترمرغ

همستی دارائی محمد منشوری احمد رضا یزدانبخش

چکیده

سابقه و هدف : فل یکی از آلاینده‌های آلی موجود در پساب صنایع بوده و به شدت برای انسان و محیط زیست سمی می‌باشد. هدف از این مطالعه کاربرد خاکستر پر شترمرغ بعنوان جاذب طبیعی برای حذف فل از محلول‌های آبی بود.

مواد و روش ها : در این مطالعه از خاکستر پر شترمرغ بعنوان یک جاذب جدید برای حذف فل در مقادیر گوناگون ($0/3$ ، $0/5$ ، $0/7$ ، $1/5$ ، $1/10$ و 3 گرم) استفاده شد. تغییرات اثر زمان، pH، مقدار جاذب، دما و غلظت اولیه فل بررسی گردید. سپس داده‌های جذب توسط ایزو ترم‌های جذب فروندلیش و لانگمیر شرح داده شدند و از نرم‌افزار Excel برای تجزیه و تحلیل داده‌ها استفاده شد.

یافته ها : نتایج نشان می‌دهد که با افزایش مقدار ماده جاذب از $g/2$ تا $g/20$ میزان جذب افزایش می‌یابد. جذب فل با افزایش مقدار pH محلول کاهش می‌یابد. همچنین مشاهده شد که افزایش زمان تماس تأثیر ویژه‌ای (۷۷ درصد) در میزان جذب از محلول دارد.

استنتاج : بطور کلی، این جاذب مورد مطالعه بصورت موفق آمیزی برای تصفیه نمونه‌های آبی صنعتی و محلول‌های آبی می‌تواند بکار رود.

واژه‌های کلیدی: خاکستر پر شترمرغ، فل، پساب صنعتی

مقدمه

و آفت‌کش وارد محیط می‌گردد^(۲)). با توجه به این که این آلاینده یک ماده سمی بوده و کاهش و حذف بیولوژیکی آن مشکل می‌باشد، لذا استانداردهای سخت گیرانه‌ای برای تخلیه مواد فل دار به محیط زیست در نظر گرفته شده است^(۳). ترکیبات فل همچنین می‌توانند با کلر حاصل از کلرینه کردن آب، ترکیبات فلی کلردار تولید کنند که این عملیات باعث ایجاد طعم و بوی نامطلوب در آب می‌شود^(۳). با توجه به این مشکلات، حذف این نوع از ترکیبات آلی از فاضلاب

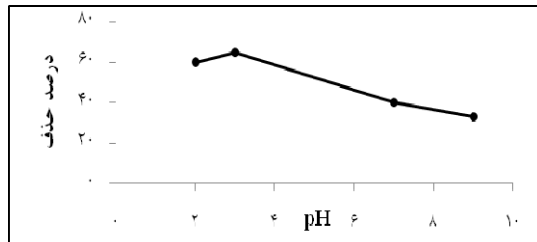
امروزه حضور فل و مشتقهای آن در آب و فاضلاب بدلیل خطراتی که بر روی سلامت انسان و محیط دارد بعنوان یک نگرانی عمده محسوب می‌شود. فل بصورت طبیعی در نتیجه تجزیه آلگ‌ها و گیاهان وارد محیط می‌شود اما حضور این ماده در آب‌های سطحی عمده‌تاً در نتیجه آلودگی ناشی از فاضلاب‌های صنعتی می‌باشد^(۱). این آلاینده آلی در غلظت‌های گوناگون از طریق فاضلاب صنایع پتروشیمی، تولید رزین و پلاستیک، کاغذ، پالایشگاه نفت، صنعت فولاد

در مقایسه با سایر روش‌های متداول که معمولاً پرهزینه نیز می‌باشد، اقتصادی به نظر می‌رسد.

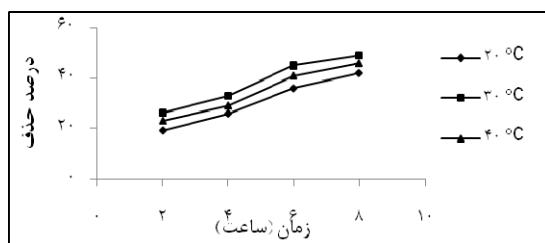
مواد و روش‌ها

پرهای شترمرغ از مراکز پرورش شترمرغ تهیه و جمع‌آوری گردید. سپس آن‌ها چندین بار با آب و دترجنت شسته شده و در نهایت پرها مجدداً با آب مقطور شستشو داده شدند. در مرحله بعدی پرها به مدت یک شبانه روز در زیر نور آفتاب خشک شدند. سپس ساقه‌های خشک پرها از آن‌ها جدا گردید و تارهای نرم آن‌ها بریده شد. سپس قسمت‌های تار مانند پر در کوره با درجه حرارت ۵۵° درجه سانتی‌گراد به مدت ۱۵ دقیقه جهت تبدیل پر به خاکستر قرار داده شد. در نهایت خاکستر بدست آمده برای کاربرد در این تحقیق در دسیکاتور نگهداری گردید. فنل مورد استفاده در این تحقیق برای تولید غلظت مشخصی از آلودگی در آب، از شرکت مرک آلمان و بصورت جامد، با درجه خلوص ۹۹ تا ۱۰۰ درصد برای آنالیزهای آزمایشگاهی می‌باشد. به همین منظور ابتدا طبق روش استاندارد، برای بدست آوردن میزان جذب مناسب، غلظت‌های استانداردی از فنل (۱۰/۰، ۰/۳، ۰/۲، ۰/۴ و ۰/۵ میلی‌گرم در لیتر) تهیه و بعد از اضافه کردن معرف‌های مربوطه، به دستگاه اسپکتروفوتومتر داده شد و داده‌ها در طول موج ۵۰۰ nm قرائت گردید. در مرحله بعد یک محلول استوک ۱۰۰۰ mg/L تهیه و در ظرف شیشه‌ای قهوه‌ای رنگ و در یخچال نگهداری گردید و در مراحل بعدی آزمایش از محلول استوک مذکور برای تهیه نمونه‌های آب آلوده به فنل با غلظت‌های مورد نیاز جهت آزمایش‌ها با رقیق‌سازی به کمک آب مقطور استفاده شد. سپس نمونه‌های تهیه شده برای تعیین پارامترهای بهینه موثر در این آزمایش شامل دما، pH، زمان، غلظت ماده جاذب و غلظت اولیه فنل مورد آنالیز قرار گرفتند. برای این منظور ابتدا آزمایش با یک غلظت ثابت و مشخص از فنل انجام شده و برای هر یک از پارامترهای مشخص

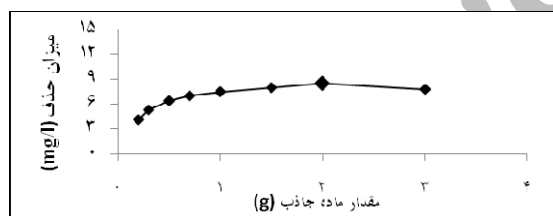
صنایع شیمیایی و پتروشیمی، یکی از اجزای لازم و ضروری در سیستم‌های تصفیه فاضلاب این صنایع به شمار می‌رود^(۴). در طی دو دهه اخیر تحقیقات زیادی در ارتباط با جذب مواد آلی با قابلیت تجزیه‌پذیری پایین صوت گرفته است. هدف اصلی این تحقیقات، تشخیص یک ماده جاذب موثر و ارزان قیمت جهت حذف آلاینده‌های آلی از محلول‌های آبی است^(۵). به طوری که در طی سالیان گذشته جهت حذف آلاینده‌های خطرناک از آب و فاضلاب بر روی کاربرد زائدات صنعتی و کشاورزی بعنوان جاذب‌های بالقوه تمرکز گردید. در این راستا تصمیم گرفته شد تا از دیگر مواد زائدی همچون پر ماکیان بعنوان یک جاذب استفاده گردد^(۶). در حقیقت، پر ماکیان از جمله جاذب‌های طبیعی هستند که می‌توانند برای تصفیه آب بکار گرفته شوند و در مقادیر زیادی بعنوان یک ماده زائد در مرغداری‌ها و کشتارگاه‌ها تولید می‌شوند^(۷). بر عکس کرben فعل، پر یک ماده ارزان قیمت بوده که به راحتی نیز در دسترس می‌باشد^(۷). موفقیت در کاربرد پر ماکیان و پرنده‌گان در آلودگی زدایی از فاضلاب به ارزش این ماده زائد تولیدی افزوده است. پرهای ماکیان و پرنده‌گان همچنین برای جذب زیستی یون‌های فلزات با ارزشی همچون طلا و پلاتینیوم بکار گرفته شده است^(۸). با توجه به وجود بیش از ۳ هزار واحد پرورش شترمرغ در کشور^(۹) و همچنین با وجود تقریبی ۴۰ هزار قطعه پرورش شترمرغ بصورت رسمی و در حدود ۱۵ هزار شترمرغ مولد و ۸۰ هزار قطعه شترمرغ دامی^(۹) که نشان دهنده رشد روزافروزن پرورش شتر مرغ و تولید مواد زائدی همچون پر آن می‌باشد و با در نظر گرفتن این نکته که پر شترمرغ بعنوان یک ماده ارزان قیمت، جدید، قابل دسترسی و با تولید روز افزون می‌باشد لذا تحقیق حاضر با هدف بررسی امکان کاربرد خاکستر پر شترمرغ بعنوان یک جاذب برای حذف آلاینده‌آلی همچون فنل و مقایسه عملکرد و راندمان آن با پر ماکیان انجام شد. همچنین جذب توسط این گونه مواد به عنوان یک گزینه



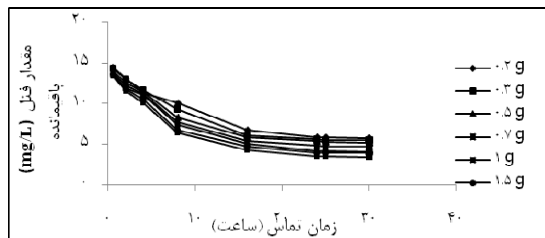
نمودار شماره ۱: تأثیر pH بر میزان جذب فل بر روی خاکستر پر (زمان: ۸ ساعت؛ دما: ۳۰ درجه؛ غلظت فل: ۱۵ میلی گرم بر لیتر؛ مقدار جاذب: ۲ گرم)



نمودار شماره ۲: تأثیر دما بر میزان جذب فل بر روی خاکستر پر (زمان: ۸ ساعت؛ pH = ۳؛ غلظت فل: ۱۵ میلی گرم بر لیتر؛ مقدار جاذب ۲ گرم)



نمودار شماره ۳: تأثیر مقدار ماده جاذب بر میزان جذب فل بر روی خاکستر پر (زمان: ۸ ساعت؛ pH = ۳؛ دما: ۳۰ درجه؛ غلظت فل: ۱۵ میلی گرم بر لیتر)



نمودار شماره ۴: تأثیر زمان تماس بر میزان جذب فل بر روی خاکستر پر (زمان: ۸ ساعت؛ pH = ۳؛ دما: ۳۰ درجه؛ غلظت فل: ۱۵ میلی گرم بر لیتر؛ مقدار جاذب ۰.۲ تا ۲ گرم)

مقادیر بهینه بدست آمد. از نرم افزار Excel برای تجزیه و تحلیل داده ها استفاده شد و مقادیر R^2 محاسبه گردید.

یافته ها

نتایج حاصل از این مطالعه در خصوص اثر pH محیط آبی در راندمان حذف فل توسط خاکستر پر شترمرغ، اثر زمان تماس در میزان حذف فل، تأثیر دما، اثر مقدار خاکستر پر و نهایتاً تأثیر غلظت اولیه فل در میزان کارایی سیستم در حذف فل به ترتیب در نمودارهای شماره ۱ الی ۵ نمایش داده شده است. برای تعیین pH بهینه، محلول های مورد نظر با pH های اولیه (۲، ۳، ۷ و ۹) از محلول استوک ساخته شد. سپس نمونه های مورد نظر در غلظت ثابت فل ۱۵ mg/L و مقدار جاذب ۲ g به مدت ۸ ساعت مخلوط شد. همانگونه که مشاهده می شود با افزایش pH، کارایی حذف کاهش می یابد. بطوری که در pH = ۳ میزان حذف فل در حدود ۶۵ درصد بوده و در pH = ۹ میزان حذف به ۳۳ درصد کاهش می یابد.

نمودار شماره ۲ تأثیر دما را بر کارایی حذف فل نشان می دهد. مطابق نتایج بدست آمده از نمودار بیشترین درصد حذف فل در دمای ۳۰°C بود.

نمودار شماره ۳ تأثیر مقدار ماده جاذب را بر روی کارایی حذف نشان می دهد. همانطور که از نمودار پیداست با افزایش مقدار ماده جاذب تا حد معینی میزان جذب فل بالا می رود.

نمودار شماره ۴ تأثیر زمان تماس بر روی کارایی حذف را نشان می دهد. همانطور که از نمودار مشاهده می گردد با افزایش زمان تماس میزان حذف بالا می رود. بطوری که برای دوز ۲ گرم از جاذب در زمان ۰/۵ ساعت حداقل حذف فل (۱۱ درصد) و در ۲۴ ساعت حداقل میزان حذف فل (۷۷ درصد) مشاهده می گردد.

تأثیر غلظت اولیه فل در حذف آن با کاربرد ۵ غلظت اولیه ۱، ۵، ۱۵، ۲۵ و ۵۰ میلی گرم در لیتر از

همچنین ثابت های این دو ایزووترم در جدول شماره ۱ ارائه شده است. با توجه به نتایج حاصله مشاهده می شود که جذب فنل بر روی پرشتر مرغ بخوبی از ایزووترم فروندلیش ($> ۰/۹۸۹$) تعیت می کند.

جدول شماره ۱: پارامترهای مدل ایزووترم جذب فروندلیج و لانگمیر

	نوع ایزووترم		مدل لانگمیر		مدل فروندلیش		
	R ²	b	Q ⁰	R ²	1/n	K	پارامتر جذب
خاکستر پرشتر مرغ	۰/۹۵۶	۲۰	۱/۳۹	۰/۹۸۹	۴/۵	۰/۰۴	

بحث

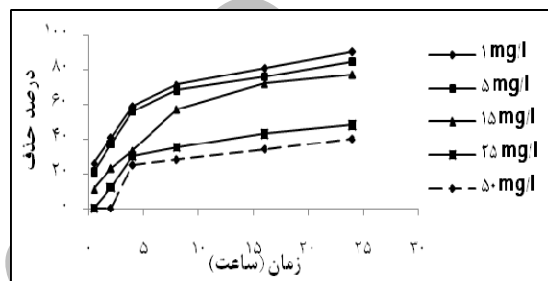
در این تحقیق طبق نمودار شماره ۱ با ثابت نگه داشتن پارامترهایی همچون مقدار ماده جاذب، دما و غلظت فنل تأثیر اثر فنل، بر روی کارایی حذف فنل بررسی گردید. طبق تحقیق انجام شده مشخص شد که جذب فنل از محلول های آبی در درجه اول وابستگی زیادی به pH محلول دارد، زیرا pH بر روی شارژ الکتروکی سطح جاذب اثر گذاشته و درجه یونیزاسیون فنل را تغییر می دهد(۱۰). طبق نتایج حاصل شده مقدار جذب فنل با افزایش pH کاهش می یابد. این امر ممکن است به دلیل نقش pH در یونیزاسیون فنل باشد. بخش یونی فنل (Φ_{ions}) توسط رابطه زیر محاسبه می شود(۱۱):

$$\Phi_{ions} = \left[\frac{1}{1 + 10^{(pK_a - pH)}} \right]$$

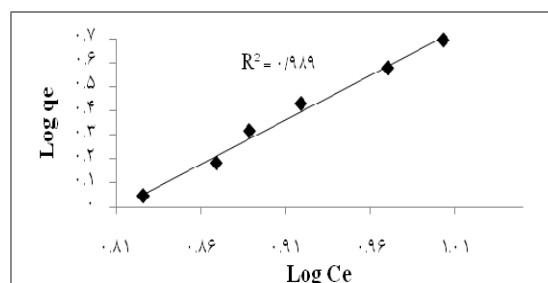
مطابق فرمول بالا مشاهده می گردد که Φ_{ions} با افزایش pH، افزایش می یابد و با توجه به این نکته که فنل یک اسید ضعیف می باشد در نتیجه به مقدار ناچیز در pH بالا تفکیک می شود(۱۱). همچنین در pH های بالا سطح جاذب دارای بار مثبت شده و در نتیجه در یک کشش قوی با یون های با بار منفی فنل قرار می گیرد که این امر باعث افزایش میزان حذف می شود. ولی با کاهش بیشتر pH از pH=۳ به pH=۲ سطح جاذب توسط یون های H⁺ احاطه شده و حضور بیش از اندازه این یون ها باعث خنثی شدن یونیزاسیون فنل شده و در نتیجه میزان حذف این آلاندله در جاذب کاهش

فنل بررسی گردید. نتایج این بررسی در نمودار شماره ۵ نشان داده شده است.

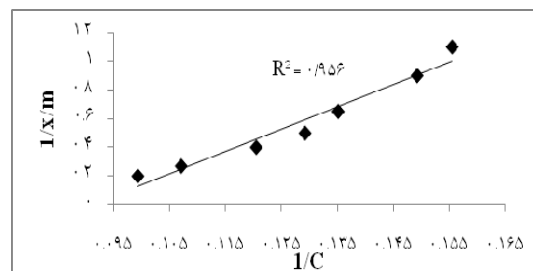
در این مطالعه از مدل های ایزووترم فروندلیش و لانگمیر برای بیان ارتباط بین مقدار جذب فنل جذب شده و غلظت تعادلی آن در محلول استفاده شده است. نتایج مربوطه در نمودارهای شماره ۶ و ۷ نشان داده شده است.



نمودار شماره ۵: تاثیر غلظت اولیه فنل بر میزان جذب بر روی خاکستر پرشتر مرغ در شرایط بهینه (۳۰ درجه؛ مقدار جاذب: ۲ گرم؛ زمان از ۰/۵ تا ۲۴ ساعت)



نمودار شماره ۶: ایزووترم خطی جذب فروندلیش برای فنل توسط پر شترمرغ در دمای ۳۰ °C



نمودار شماره ۷: ایزووترم خطی جذب لانگمیر برای جذب فنل توسط پر شترمرغ در دمای ۳۰ °C

از $g/70$ واجذب فل به محیط اتفاق می‌افتد. این کاهش جذب می‌تواند بعلت کمبود غلظت فل در مقادیر بالاتر جاذب (از 70 تا 220 گرم) باشد. در تحقیقات مشابه در زمینه حذف فل مشاهده گردیده که با افزایش مقدار جاذب‌هایی مانند سبوس برنج و کربن آن توسط محوی، پر مرغ توسط Fawzi، پوست بلوط توسط Vazquez و برگ تنیدی توسط Nagda، درصد حذف فل افزایش می‌یابد. همچنین در یک تحقیق مشابه که توسط Mishra برای حذف فل بر روی کربن برگ انجام داد مشاهده شد که با افزایش مقدار ماده جاذب میزان حذف فل کاهش می‌یابد.^(۱۰، ۱۷، ۲۱)

همان‌طور که در نمودار شماره 4 مشاهده می‌گردد راندمان حذف فل در غلظت اولیه 15 mg/L فل و مقادیر متفاوت جاذب (20 تا 220 گرم) در زمان تماس 30 دقیقه در حداقل مقدار خود می‌باشد اما با افزایش زمان، راندمان حذف افزایش چشمگیری را نشان می‌دهد به طوری که در زمان تماس 24 ساعت راندمان حذف فل توسط پر شترمرغ در هر 5 غلظت ماده جاذب به حداقل مقدار خود می‌رسد. در این زمینه نتایج مشابهی برای جذب فل بر روی پرمرغ توسط Fawzi و بر روی خاکستر زغال سنگ آفریقای جنوبی توسط Potgieter ارائه گردیده است.^(۱۹، ۲۰)

بر اساس نتایج مربوط به تاثیر غلظت اولیه فل در نمودار 5 مشاهده گردید که با افزایش غلظت فل میزان کارایی جذب کاهش می‌یابد، که به نظر می‌رسد با افزایش غلظت فل ظرفیت جذب جاذب بالا می‌رود که این امر ممکن است در نتیجه افزایش نیروی انتقال جرم و در نتیجه افزایش ظرفیت جذب باشد.^(۲۰، ۲۱) همچنین به نظر می‌رسد که با افزایش غلظت فل، درصد حذف کاهش می‌یابد.

مدلهای مختلفی برای توصیف داده‌های حاصل از آزمایشات جذب وجود دارد که مهمترین آنها ایزوترم‌های جذب است. تحلیل ایزوترم جذب به منظور دست‌یابی به یک معادله جهت نمایش دقیق نتایج

می‌یابد^(۱۲). همچنین با افزایش pH به سمت خشی و قلیایی، میزان دورت نمونه افزایش می‌یابد که این امر بدلیل تجزیه برخی از اجزای آلی پر در نمونه می‌باشد. نتایج مشابهی در این خصوص برای جذب فل بر روی کربن فعال توسط Halouli، بر روی بتونیت توسط Banat، بر روی خاکستر نیشکر توسط Vimal ارائه شده است.^(۱۳-۱۵)

مطابق نتایج ارائه شده در نمودار 2 مشاهده می‌گردد که با افزایش دما کارایی جاذب بالا رفته و میزان حذف فل افزایش می‌یابد. به طوری که با افزایش دما از 20°C به 30°C افزایش قابل ملاحظه‌ای در جذب فل توسط پر شترمرغ مشاهده می‌گردد و بعد از آن با افزایش دما تا 40°C کارایی پر در جذب کاهش می‌یابد. افزایش کارایی جذب با افزایش دما ممکن است بدلیل انساط جاذب و در نتیجه افزایش محل‌های فعال بیشتر برای حذف فلی که در تماس با آن است باشد. همچنین کاهش راندمان سیستم با افزایش بیشتر دما تا 40 درجه سانتیگراد بدلیل افزایش حرکت و جنبش فل و در نتیجه ضعیف شدن نیروی جذب بین جذب بین بین جاذب و فل شود. در تحقیقات مشابه‌ای که با پر ماکیان بر روی آلاینده‌ها انجام شده این موضوع به اثبات رسیده است. در این زمینه می‌توان به جذب زیستی فل با استفاده از پر مرغ توسط Fawzi، جذب رنگ ایندیگو کارمین با پر ماکیان توسط Mittal و جذب سرب با پر مرغ توسط De la Rosa اشاره نمود.^(۶، ۱۶)

بر اساس نتایج بدست آمده در ارتباط با تأثیر افزایش مقدار ماده جاذب بر کارایی حذف فل (نمودار شماره 3) مشخص گردید که در غلظت $g/20$ حداقل مقدار حذف را دارد اما با افزایش مقدار ماده جاذب راندمان حذف افزایش چشمگیری را نشان می‌دهد به طوری که با مقدار جاذب $g/70$ میزان حذف افزایش می‌یابد و پس از آن راندمان حذف دچار کاهش می‌شود و به عبارتی با افزایش مقدار ماده جاذب به بیش

لانگمیر بر حسب mg/g و mg/L هستند که به ترتیب مربوط به حداکثر ظرفیت جذب و انرژی جذب هستند. مدل فروندلیش به صورت فیزیکی توصیف قابل اعتمادتری جهت جذب آلاینده‌ها بر روی مواد آلی ارائه می‌کند که این موضوع می‌تواند بدلیل حضور باندهای جذبی مختلف بر روی مواد آلی باشد.^(۲۱) داده‌های نمودار شماره ۶ و ۷ نشان می‌دهد که رابطه فروندلیش به علت ضریب همبستگی بالای بدست آمده که برابر ۰/۹۸۹ می‌باشد نسبت به ایزووترم لانگمیر $R^2 = 0/956$ (R) جذب فنل بر روی پر شترمرغ را بهتر توصیف می‌کند.

سپاسگزاری

نویسنده‌گان این تحقیق از کارشناس محترم آزمایشگاه و مسئولین محترم دانشکده بهداشت دانشگاه علوم پزشکی شهید بهشتی که در طول انجام این تحقیق کمال همکاری را داشته اند سپاسگزارند. این مقاله حاصل پایان‌نامه دانشجوی پزشکی دکتر ملیحه بنی‌حسن می‌باشد.

References

- Yapar S, Ozbudak V, Dias A, Lopes A. Effect of adsorbent concentration to the adsorption of phenol on hexadecyl trimethyl ammonium-bentonite. J Hazard Mater 2005; 100(1-3): 135-139.
- Bayramoglu G, Arica M.Y. Enzymatic removal of phenol and p-chlorophenol in enzyme reactor: horseradish peroxidase immobilized on magnetice beads. J Hazard Mater 2008; 164(2-3): 148-155.
- Joyce TW. Design criteria for phenol treatment by plastic media tricking filter, ALCHE. Symposium Series 1997; 39(17): 123-131.
- Lin SH, Cheng M J. Adsorption of phenol and m-cholorophenol on organo bentonite sand repeated thermal regeneration. J Ind Eng Chem 2001; 74(9): 150-159.
- Mittal A. removal of the dye amaranth from wastewater using hen feathers as potential adsorbent. Elect J Environ Agric Food Chem 2006; 5(2): 129-135.
- De la Rosa G, Reynel-Avila HE, Bonilla A, Martinez AL. Word Acad Sci Engin Tech 2008; 47(8): 394-402.
- Mittal A. Use of hen feathers as potential adsorbent for the removal of a hazardous dye, Brilliant Blue FCF, from wastewater. J Hazard Mater 2006; 128: 233-239.
- Banat F, Al-Asheh S.M. Biosorption of phenol by chicken feathers. Environ Engineering and Policy 2000; 2: 85-90.

و طراحی سیستم‌های جذب بسیار مهم می‌باشد.^(۱۰) شکل خطی ایزووترم فروندلیش به صورت رابطه زیر می‌باشد^(۱۱، ۱۰، ۲۰):

$$\text{Log}q_0 = \text{Log}K + \frac{1}{n} \text{Log}Ce$$

که در رابطه فوق، q_0 برابر با مقدار جسم جذب شده به ازای جرم جاذب است (Ce mg/mg)، غلظت تعادلی جسم جذب شونده (mg/L) K و $1/n$ ثابت‌های ایزووترم فروندلیش هستند که به ترتیب مربوط به ظرفیت جذب و شدت جاذب می‌باشند. نمودارهای شماره ۶ و ۷ ایزووترم‌های جذب فروندلیش را بر سیستم جاذب پر شترمرغ در دمای ثابت ۳۰ درجه سانتیگراد نشان می‌دهد.

شکل خطی ایزووترم لانگمیر نیز از رابطه زیر محاسبه می‌گردد^(۲۱، ۱۰، ۱۱، ۲۰):

$$\frac{1}{q_0} = \frac{1}{Q^0} + \frac{1}{bQ^0} \frac{1}{Ce}$$

که در رابطه فوق، Q^0 و b، ثابت‌های ایزووترم‌های



9. Kianimanesh HR, Rezazade M, Darvish M. The ostrich livestock for tomorrow. 1st ed. Tehran: Atinegar-Mehr engineering company, 2004.
10. Mahvi AH, Maleki A, Eslami A. Potential of rice husk and rice husk ash for phenol removal in aqueous systems. American J Appli Sci 2004; 1(4): 321-326.
11. Banat FA, Al-Bashir B, Al-Asheh S, Hayahneh O. Adsorption of phenol by bentonite. Env Pollut 2000; 107(3): 391-398.
12. Mishra S, Bhattacharya J. Batch studies on phenol removal using leaf activated carbon. Malay J Chem 2007; 9(1): 1-15.
13. Khalid N, Ahmad S, Toheed A, Ahmad J. Potential of rice husks for antimony removal. Appli Rad Isot 2000; 52 (1): 31-38.
14. Halhouli KA, Drawish NA, Al-Dhoon NM. Effects of pH and inorganic salt on the adsorption of phenol from aqueous systems on activated decolorizing charcoal. Separat Sci and Tech 1995; 30(17): 181-190.
15. Vimal C, Srivastava S, Mahadeva M, Indra D, Basheswar Prasadm Indra M, Mishra S. Adsorptive removal of phenol by bagasse fly ash and activated carbon: Equilibrium, kinetics and thermodynamics. J Coll and Surf 2006; 5(2): 89-104.
16. Mittal A, Mittal J, Kurup L. Utilization of hen feathers for the adsorption of Indigo Carmine from simulated effluents. J Env Prot Sci 2007; 146: 92-100.
17. Vazquez G, Gonzalez J, Freire M, Calvo M, Antorrena G. Determination of the optimal conditions for the adsorption of cadmium ions and phenol on chestnut (*castanea sativa*) shell. Glob NEST J 2009; 11(2): 196-204.
18. Nagda GK, Diwan AM, Ghole VS. Potential of tendu leaf refuse for phenol removal in aqueous systems. Appli Eco Env Res 2007; 5(2): 1-19.
19. Potgieter J.H, Bada S.O, Potgieter S.S. Adsorptive removal of various phenols from water by South African coal fly ash. J Water Sci 2009; 35(1): 378-387.
20. Rengaraj S, Seuny-Hyeon M, Sivabalan R. Agricultural solid waste for the removal of organics: adsorption of phenol from water and wastewater by palm seed coat activated carbon. Waste Manage 2002; 22(5): 543-548.
21. Aksu A, Ac-ykel U, Kabasakal E, Tezer S. Equilibrium modeling of individual and simultaneous biosorption of chromium (VI) and nickel (II) onto dried activated sludge. J Water Res 2002; 29(476): 3063-3073.